

構造特性値算定結果

項目	No.1	No.2	No.3		
降伏耐力 : P_y (kN)	8.62	9.33	7.63		
降伏変形角 : γ_y ($\times 10^{-3}$ rad)	23.31	36.45	20.36		
最大荷重 : P_{max} (kN)	18.76	15.49	14.79		
P_{max} 時変形角 : $\gamma_{P_{max}}$ ($\times 10^{-3}$ rad)	66.67	66.67	66.49		
終局耐力 : P_u (kN)	16.38	16.46	12.92		
終局変形角 : γ_u ($\times 10^{-3}$ rad)	66.67	66.67	66.67		
初期剛性 : K (kN/rad)	369.80	255.97	374.75		
降伏点変形角 : γ_v ($\times 10^{-3}$ rad)	44.29	64.32	34.48		
塑性率 : μ	1.51	1.04	1.93		
構造特性係数 : D_s	0.70	0.96	0.59		
包絡面積 : S (kN \cdot rad)	729.47	568.06	638.66		
$P(\gamma=1/300\text{rad})$ [kN]	2.34	1.44	2.58		
$\gamma_{2/3P_{max}}$ ($\times 10^{-3}$ rad)	37.89	40.58	30.64		
$0.1P_{max}$ [kN]	1.88	1.55	1.48		
$\gamma_{0.1P_{max}}$ ($\times 10^{-3}$ rad)	2.47	3.70	1.65		
$0.4P_{max}$ [kN]	7.50	6.20	5.92		
$\gamma_{0.4P_{max}}$ ($\times 10^{-3}$ rad)	19.04	22.88	13.96		
$0.9P_{max}$ [kN]	16.88	13.94	13.31		
$\gamma_{0.9P_{max}}$ ($\times 10^{-3}$ rad)	56.49	57.74	53.04		
$P(\gamma=1/600\text{rad})$ [kN]	1.44	0.90	1.49		
$P(\gamma=1/450\text{rad})$ [kN]	1.74	1.08	1.85		
$P(\gamma=1/300\text{rad})$ [kN]	2.34	1.44	2.58		
$P(\gamma=1/200\text{rad})$ [kN]	3.03	1.96	3.24		
$P(\gamma=1/150\text{rad})$ [kN]	3.66	2.47	3.81		
$P(\gamma=1/120\text{rad})$ [kN]	4.22	2.94	4.31		
$P(\gamma=1/100\text{rad})$ [kN]	4.79	3.41	4.79		
$P(\gamma=1/75\text{rad})$ [kN]	5.86	4.19	5.73		
$P(\gamma=1/60\text{rad})$ [kN]	6.82	4.88	6.70		
$P(\gamma=1/50\text{rad})$ [kN]	7.78	5.55	7.55		
$P(\gamma=1/40\text{rad})$ [kN]	9.05	6.67	8.65		
$P(\gamma=1/30\text{rad})$ [kN]	11.27	8.58	10.36		
$P(\gamma=1/25\text{rad})$ [kN]	13.00	10.17	11.46		
$P(\gamma=1/20\text{rad})$ [kN]	15.50	12.45	12.91		
$P(\gamma=1/15\text{rad})$ [kN]	18.76	15.49	14.79		

短期基準接合耐力算定用指標の結果

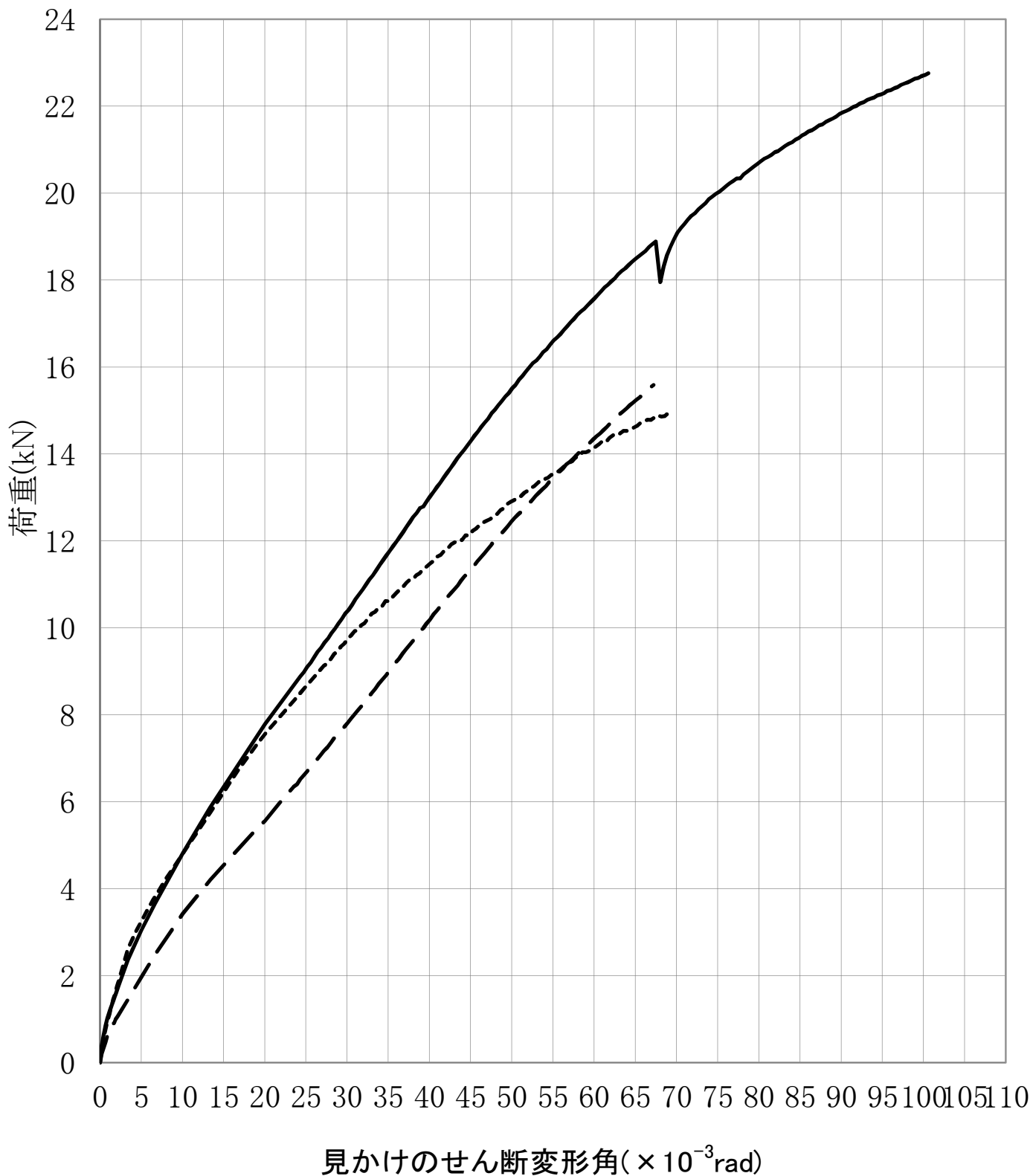
試験体	HP14-STL019				
	P_y (kN)	$P_u \cdot 0.2 \cdot \sqrt{2\mu - 1}$ (kN)	$2/3P_{max}$ (kN)	$1/120\text{rad}P$ (kN)	参考: $1/300\text{rad}P$ (kN)
No.1	8.62	4.66	12.51	3.66	2.34
No.2	9.33	3.42	10.33	2.47	1.44
No.3	7.63	4.37	9.86	3.81	2.58

試験実施日

No.1	平成26年8月11日
No.2	平成26年8月11日
No.3	平成26年8月11日

荷重－変形角関係包絡線一覧

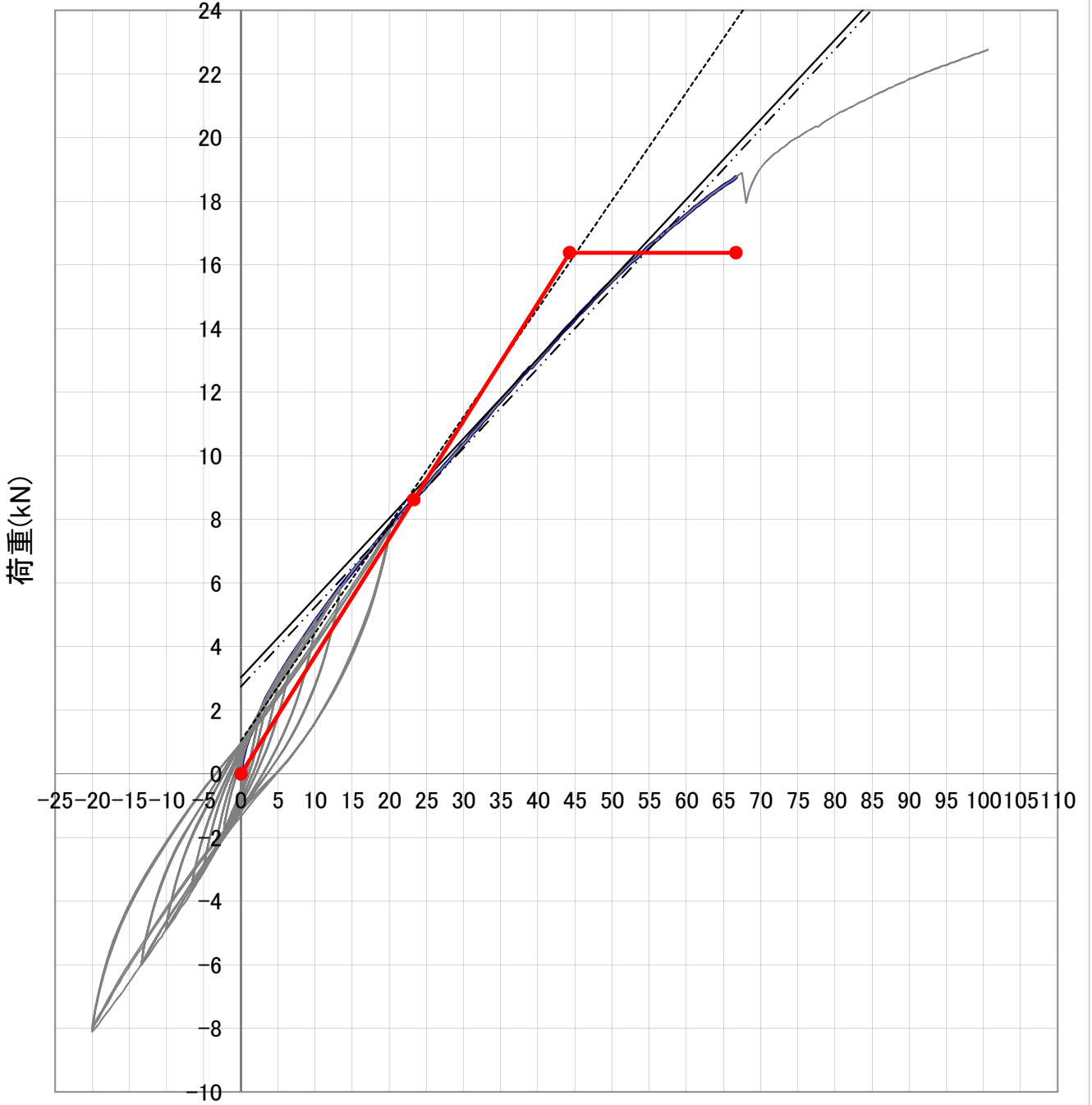
Pmax	No. 1	18.76	kN
	No. 2	15.49	kN
	No. 3	14.79	kN



荷重－変位関係(降伏耐力算定直線)

HP14-STL019-1

Pmax 18.76 kN
Py 8.62 kN



見かけのせん断変形角 ($\times 10^{-3}$ rad)

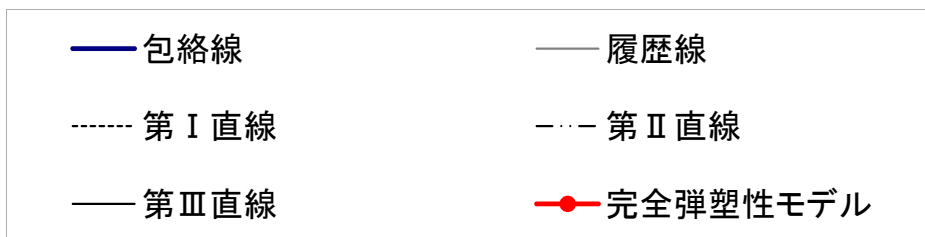




写真 1-1

HP14-STL019-1

試験開始前全体



写真 1-2

HP14-STL019-1

試験終了後全体

Pmax 18.89 kN



写真 1-3

HP14-STL019-1

破壊状況



写真 1-4
HP14-STL019-1
破壊状況



写真 1-5
HP14-STL019-1
破壊状況

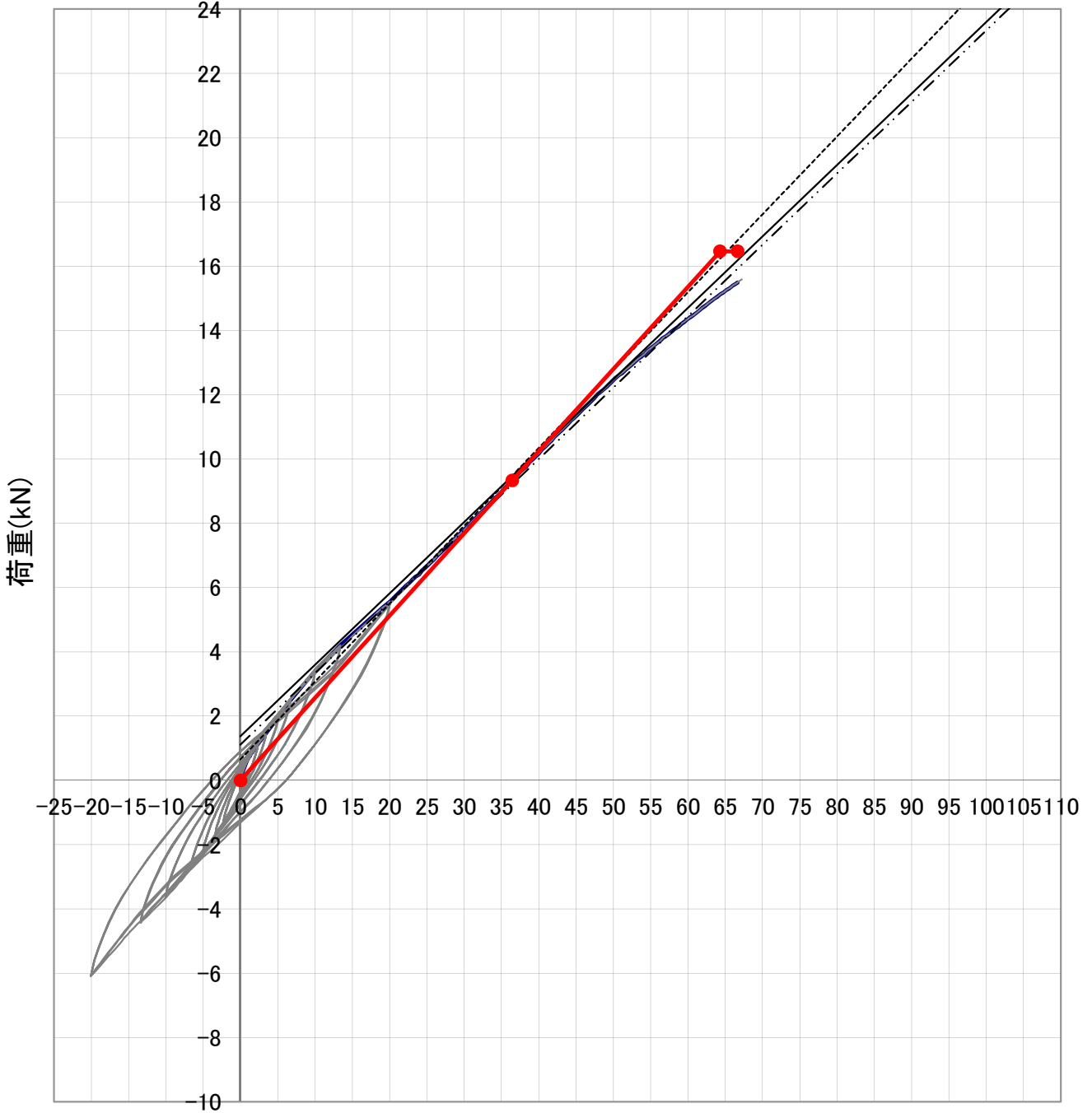


写真 1-6
HP14-STL019-1
破壊状況

荷重－変位関係(降伏耐力算定直線)

HP14-STL019-2

Pmax 15.49 kN
Py 9.33 kN



見かけのせん断変形角 ($\times 10^{-3}\text{rad}$)

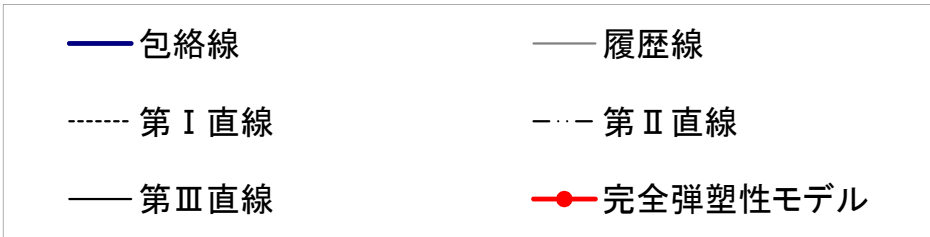




写真 2-1
HP14-STL019-2
試験開始前全体



写真 2-2
HP14-STL019-2
試験終了後全体
Pmax 15.52 kN



写真 2-3
HP14-STL019-2
破壊状況

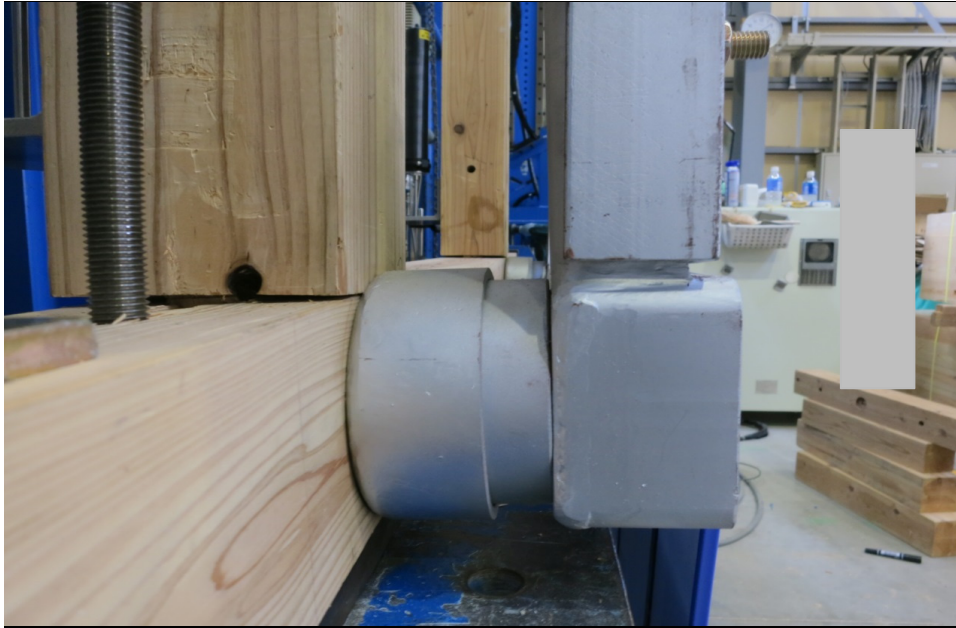


写真 2-4

HP14-STL019-2

破壊状況

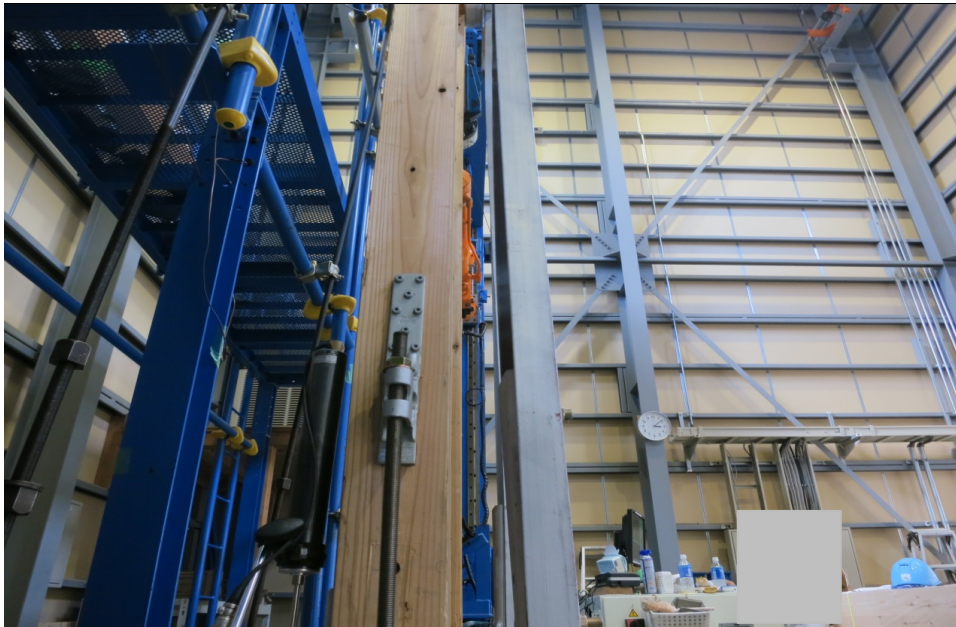


写真 2-5

HP14-STL019-2

破壊状況



写真 2-6

HP14-STL019-2

破壊状況

荷重－変位関係(降伏耐力算定直線)

HP14-STL019-3

Pmax 14.79 kN
Py 7.63 kN

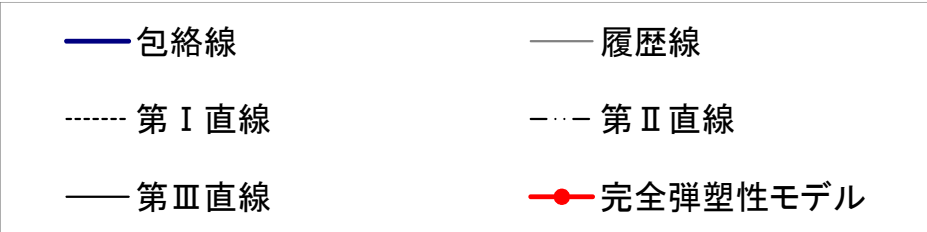
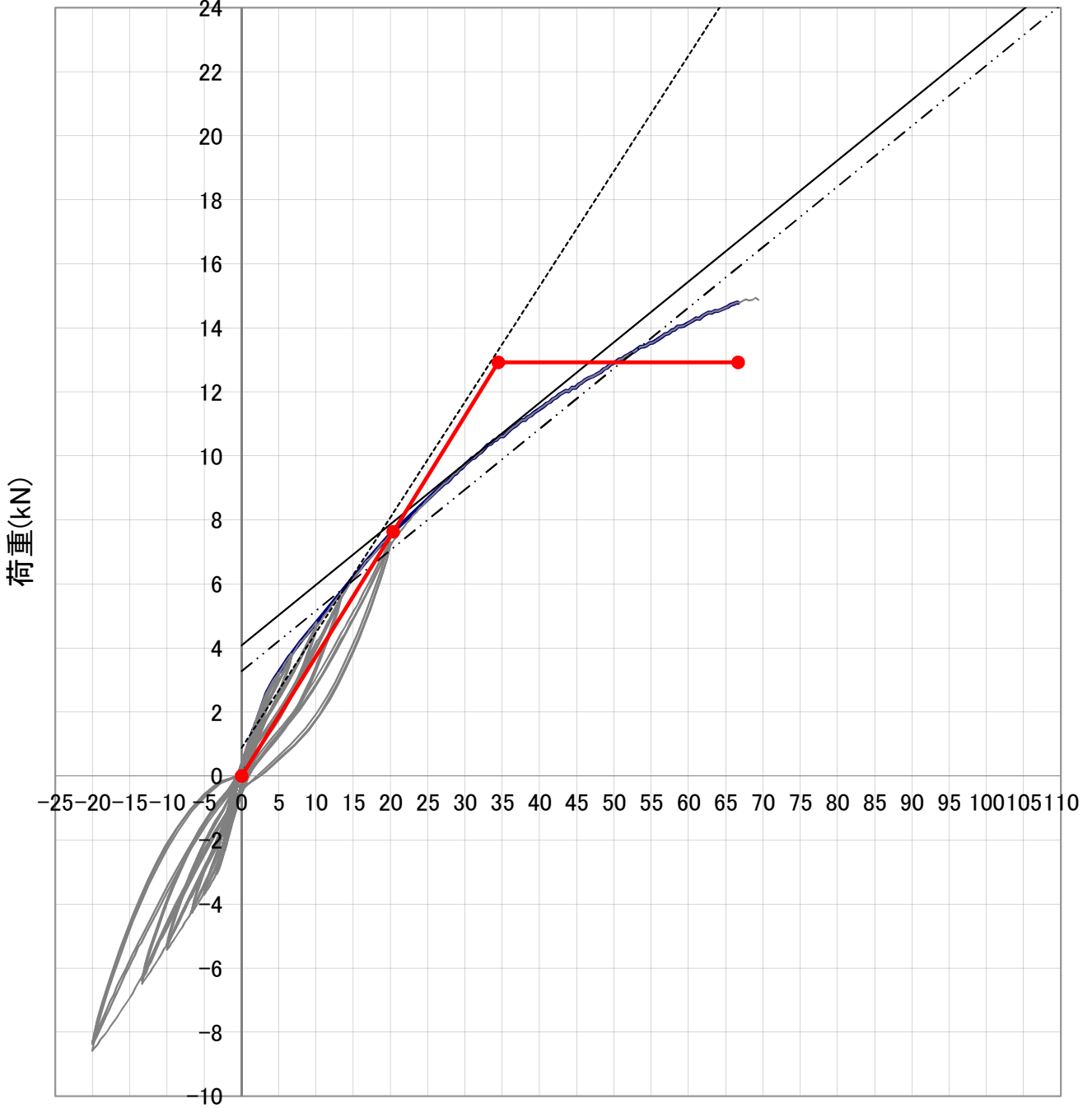




写真 3-1
HP14-STL019-3
試験開始前全体



写真 3-2
HP14-STL019-3
試験終了後全体
Pmax 14.94 kN



写真 3-3
HP14-STL019-3
破壊状況



写真 3-4

HP14-STL019-3

破壊状況

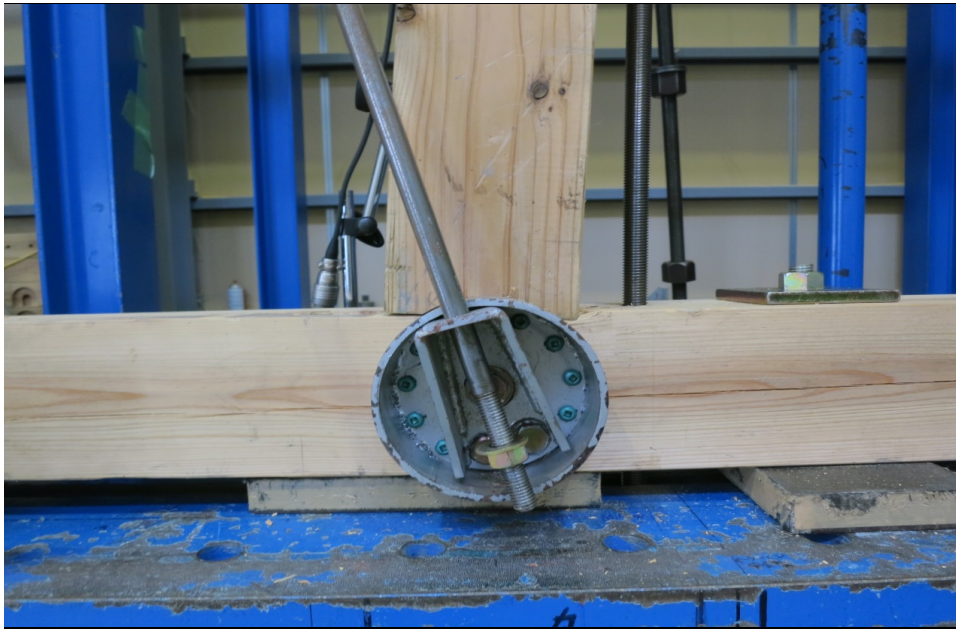


写真 3-5

HP14-STL019-3

破壊状況



写真 3-6

HP14-STL019-3

破壊状況